

T — темп-ра в энергетич. единицах. Трансляционно инвариантное взаимодействие на правильной решётке (однородная модель) может зависеть от ориентации ребра (анизотропная модель). В однородной модели на квадратной решётке задают две ф-ции: $\epsilon_h(\sigma_1, \sigma_2)$ на горизонтальных рёбрах и $\epsilon_v(\sigma_1, \sigma_2)$ на вертикальных. В однородной модели на треугольной и гексагональной решётках анизотропия характеризуется тремя ф-циями. В однородной и изотропной модели энергия парного взаимодействия одинакова на всех рёбрах.

Для абелевых групп симметрии можно выбрать σ_i так, чтобы парное взаимодействие ϵ_2 зависело только от разности $\sigma_i - \sigma_j$ спинов, расположенных на концах ребра. В табл. 1 перечислены нек-рые группы, используемые при построении моделей.

Табл. 1.

Группа	Спиновая переменная (множество значений)	Нарушение симметрии внеш. полем h
R — группа трансляций на прямой	φ — все действит. числа	$\epsilon_1(\varphi) = h \cos \varphi$, симметрия понижается до Z
Z — группа дискретных трансляций на прямой	n_j — все целые числа	$\epsilon_1(n) = -hn^2$, симметрия нарушается полностью
$O(2)$ — группа плоских вращений	$0 < \theta_j < 2\pi$	$\epsilon_1 = h \cos q\theta$, симметрия понижается до Z_q
Z_q — группа дискретных плоских вращений на угол θ_j	$p_j = 0, 1, 2, \dots, q-1$; $\theta_j = 2\pi p_j/q$ можно пользоваться переменными $\sigma_j = \exp(i\theta_j)$	$\epsilon_1(\theta) = h \cos \theta = h(\sigma + \sigma^*)/2$, симметрия нарушается полностью
$Z_2 \otimes Z_2$ — макс. абелева подгруппа группы тетраэдра	$p_j = (p_j^{(1)}, p_j^{(2)})$, $p_j^{(1, 2)} = 0, 1$, $\sigma_j^{(1)} = (-1)^{p_j^{(1)}}$, $\sigma_j^{(2)} = (-1)^{p_j^{(2)}}$	$\epsilon_1(\sigma^{(1)}, \sigma^{(2)}) = h^{(1)}\sigma^{(1)} + h^{(2)}\sigma^{(2)} + h^{(3)}\sigma^{(1)}\sigma^{(2)}$, симметрия нарушается полностью

Симметрия взаимодействия является решающим фактором при выборе модели для описания реальной физ. системы. Ниже приведен ряд моделей и указано, в каких эксперим. ситуациях они реализуются.

1. Гауссова модель (свободное поле). Симметрия взаимодействия R , $T^{-1}\epsilon(\varphi_i - \varphi_j) = J(\varphi_i - \varphi_j)^2/2$.

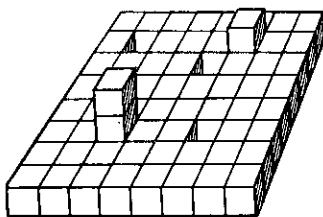


Рис. 1. Модель поверхности кристалла.

Это простейшая и точно решаемая модель. Её свойства используют при расчётах в др. моделях.

2. Дискретная гауссова модель. Симметрия взаимодействия Z , $T^{-1}\epsilon(n_i - n_j) = K(n_i - n_j)^2/2$. Модель используют для описания систем адсорбиров. атомов на поверхности металлов с большим отношением двух периодов подложки. Модель Кабреры.

Симметрия взаимодействия Z . Это простейшая модель, описывающая флуктуации поверхности кристалла. Целые числа n_j указывают высоту столбика над площадкой с номером j (рис. 1), $T^{-1}\epsilon(n_i - n_j) = K|n_i - n_j|$. Обе модели обладают оди-

наковой симметрией и одинаковыми свойствами при низких темп-рах.

3. XY -модель (плана́рный магнетик), $U(1)$ -модель. Группа симметрии взаимодействия $O(2)$. Спин S_j — двумерный единичный вектор в плоскости «лёгкого намагничения» $S_j = (\cos \theta_j, \sin \theta_j)$. Взаимодействие спинов «обменное», $T^{-1}\epsilon(S_i, S_j) = J(S_i S_j) = J \cos(\theta_i - \theta_j)$. XY -модель применяют для описания магнетиков, плёнок сверхтекучего ^4He и сверхпроводников. Модель Березинского — Виллана (БВ) обладает той же симметрией $O(2)$, отличается выбором

$$\text{ПСВ } w(\theta_i - \theta_j) = \sum_{n_j = -\infty}^{\infty} \exp[-J(\theta_i - \theta_j - 2\pi n_j)^2/2],$$

к-рые не имеют гиббсовской формы. Однако при низких темп-рах ($J \gg 1$) ПСВ обеих моделей приближённо совпадают. Преимущество модели БВ в её матем. простоте.

4. Модели с симметрией Z_q . Дискретные варианты XY -модели и модели БВ. Симметрия $O(2)$ XY -модели или модели БВ нарушена до Z_q . Соответствует планарному магнетизму с осью анизотропии порядка q . Углы θ_j принимают дискретные значения $\theta_j = 2\pi p_j/q$ ($p_j = 0, 1, \dots, q-1$), а ПСВ здесь такие же, как в непрерывных моделях БВ и XY . В моделях Поттса парное взаимодействие обладает макс. возможной симметрией для q -компонентного спина, $-T^{-1}\epsilon(p_i, p_j) = K\delta_{p_i p_j}$, где δ — символ Кронекера.

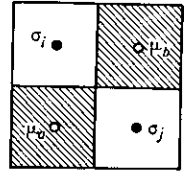


Рис. 2. Типичная вершина шахматной решётки.

При $q=2, 3$ модели Поттса являются наиб. общими Z_2 - и Z_3 -моделями. Z_2 -модель известна как модель Изинга, для к-рой в переменных $\sigma_i = (-1)^{p_i}$, $-T^{-1}\epsilon(\sigma_i, \sigma_j) = J\sigma_i\sigma_j$. При $J > 0$ модель описывает ферромагнетик, при $J < 0$ — антиферромагнетик. Возможны смешанные типы в анизотропных моделях: $J_h J_v < 0$. Те же правила справедливы в модели Поттса, если J заменить на K . Решёточный газ Поттса — обобщение модели Поттса на случай решётки с вакансиями. Для описания вакансий вводят дополнительную переменную $t_j = 0, 1$. При $t_j = 0$ j -й узел свободен, при $t_j = 1$ он занят. Энергия состояния имеет вид:

$$-T^{-1}\epsilon(p, t) = \sum_{i,j} t_i t_j [K' + K\delta_{p_i p_j}] + \sum_i (1 - t_i) \ln z_i,$$

K и K' — постоянные взаимодействия, z_i — статистический вес вакансии. Модель Изинга хорошо описывает нек-рые слоистые магнетики. Модель Поттса при $q=2, 3, 4$ описывает плавление разл. соизмеримых кристаллов в монослое адсорбиров. атомов. Ещё одной реализацией трёхкомпонентной модели Поттса является антисегнетоэлектрич. структура, возникающая в сплаве окиси алюминия с серебром при $T=300$ К. Модель решёточного газа Поттса при $q=3$ использовалась для числ. расчёта фазовой диаграммы криптона на графите. Модель Ашкипа — Теллера (АТ) описывается двумя изинговскими спинами $\sigma_j^{(1)} = \pm 1$; $\sigma_j^{(2)} = \pm 1$ в каждом узле j . Взаимодействие между спинами обоих сортов, расположенными в соседних узлах, имеет вид $-T^{-1}\epsilon(\sigma_i^{(1)}, \sigma_i^{(2)}; \sigma_j^{(1)}, \sigma_j^{(2)}) = J_0 + J_1 \sigma_i^{(1)} \sigma_j^{(1)} + J_2 \sigma_i^{(2)} \sigma_j^{(2)} + J_3 \sigma_i^{(1)} \sigma_j^{(1)} \sigma_i^{(2)} \sigma_j^{(2)}$, оно инвариантно относительно группы $Z_2 \otimes Z_2$: $\sigma_i^{(1)} \rightarrow \pm \sigma_i^{(1)}$, $\sigma_i^{(2)} \rightarrow \pm \sigma_i^{(2)}$ и является наиб. общим для данной симметрии. Вместо параметров J_0, J_1, J_2, J_3 удобно использовать значения ПСВ для четырёх спиновых конфигураций: $w_0 = \exp(J_0 + J_1 + J_2 + J_3)$, $w_i = \exp(J_0 + J_i - J_j - J_k)$, где (i, j, k) — произвольная перестановка индексов 1, 2, 3. Частными случаями модели АТ являются модель Изинга (один из параметров J_i равен нулю) и модель Поттса ($J_1 = J_2 = J_3$). При $J_1 = J_2$ симметрия взаимодействия повышается до Z_4 .